



بررسی آزمایشگاهی و عددی دینامیک جریان‌های غلیظ نمکی در مخازن

روح الله کاظمی آرپناهی^۱، مهدی قمشی^{۲*}، جواد احیدان^۳ و مهدی کاهه^۴

- ۱- دانشجوی کارشناسی ارشد، دانشکده مهندسی علوم آب، دانشگاه شهید چمران اهواز.
۲- نویسنده مسئول، استاد گروه سازه‌های آبی، دانشکده مهندسی علوم آب، دانشگاه شهید چمران اهواز m.ghomeshi@yahoo.com
۳- دانشیار گروه سازه‌های آبی، دانشکده مهندسی علوم آب، دانشگاه شهید چمران اهواز.
۴- دکتری سازه‌های آبی دانشکده مهندسی علوم آب، دانشگاه شهید چمران اهواز.

تاریخ پذیرش: ۹۵/۲/۱۱

تاریخ دریافت: ۹۴/۹/۷

چکیده

با توجه به اینکه خصوصیات هیدرولیکی جریان غلیظ تحت تاثیر پارامترهای مختلفی قرار دارد، در این تحقیق اثر تغییرات دبی، شیب و غلظت جریان غلیظ بر سرعت پیشانی و پروفیل (توزیع) سرعت در بدنه جریان غلیظ توسط مدل فیزیکی و مدل ریاضی سه بعدی فلو تری دی مورد تحقیق و بررسی قرار گرفته است. برای این منظور آزمایش‌هایی به صورت جریان غلیظ نمکی در سه دبی ورودی $7/0$ ، $1/3$ و $1/0$ لیتر بر ثانیه و سه شیب $0/2$ ، $1/2$ و $2/2$ درصد صورت پذیرفت. همچنین به منظور بررسی اثر تغییرات غلظت جریان ورودی بر مشخصات جریان غلیظ، از سه غلظت $10/0$ ، $15/0$ و $20/0$ گرم بر لیتر استفاده شد. در این تحقیق به منظور اندازه گیری سرعت پیشانی و توزیع سرعت در بدنه جریان و بررسی روند تغییرات آن در دبی، غلظت و شیب‌های مختلف از یک دوربین فیلمبرداری و یک سرعت سنج پروفایلر آتراسونیک استفاده شد. سپس سرعت پیشانی و توزیع سرعت در بدنه جریان با استفاده از شش مدل آشفتگی مختلف موجود در نرم افزار فلو تری دی استخراج شد. مقایسه نتایج مدل فیزیکی و ریاضی نشان داد که مدل آشفتگی اددی و حالت جریان آرام، از دقت بهتری نسب به سایر مدل‌های آشفتگی برخوردار است. لازم به ذکر است عدد رینالدز آزمایش‌های صورت گرفته در محدوده $4000-2000$ می باشد.

کلید واژه‌ها: جریان غلیظ نمکی، مدل‌های آشفتگی، توزیع سرعت، نرم افزار فلو تری دی، مخازن سدها.

Laboratory and Numerical Study of Dynamics Salty Density Current in The Reservoirs

R. Kazemi Arpanahi¹, M. Ghomeshi^{2*}, J. Ahadyan³ and M. Kaheh⁴

1- M.Sc Student of Water Structures, Faculty of Water Sciences Engineering, Shahid Chamran University of Ahvaz, Iran.

2*- Corresponding Author, Professor, Faculty of Water Sciences Engineering, Shahid Chamran University of Ahvaz, Iran.

3. Associate Professor Faculty of Water Sciences Engineering, Shahid Chamran University of Ahvaz, Iran.

4. Ph.D. Graduate of Hydraulic Structure, Water Sciences Engineering Department, Shahid Chamran University of Ahvaz.

Received: 28 November 2015

Accepted: 30 April 2016

Abstract

Since the characteristics of density current is affected by different parameters, the effect of discharge rate changes, gradient and the concentration of density current on speed of the forehead and also the speed distribution in density current's body have been investigated by physical and three-dimensional mathematical model (Flow-3d) in this research. For these purposes, different

tests in the form of salty density current were done with three inflow discharge rates (0.7, 1 and 1.3 liters per second) and three different slopes (0, 1 and 2.2 percent). As well as to evaluate the effect of density changes on the flow characteristics, the concentration of 10, 15 and 20 grams per liter were used. In order to measure the speed of the forehead, velocity distribution in the body and its changes with flow, density and different slopes, video camera and ultrasound profiler speedometer were used in this study. Then, forehead speed and velocity distribution in the current's body were achieved using six different turbulence models which are available on the software of "Flow-3D". Comparing the results of physical and mathematical model showed that Eddy turbulence model and laminar flow mode have better accuracy in relation to other turbulent models. It should be noted that Reynolds number on experiments are at the range of 2000-4000.

Keywords: Salty density current, Turbulent models, Speed distribution, Flow-3D software, Dam reservoirs.

همچنین حرکت جریان غلیظ باعث کشش و حمل مایع تمیز پیرامون خود شده که توسط ضریب اختلاط E_w بیان می‌شود که خود تابعی از عدد ریچاردسون است:

$$E_w = f(Ri) \quad (4)$$

به طور کلی جریان غلیظ دارای دو بخش اصلی پیشانی و بدن است (شکل ۱). برخلاف جریان نسبتاً یکنواخت و دائمی بدن جریان غلیظ، بخش پیش روندۀ جریان غلیظ (پیشانی جریان) دارای جریان غیر دائمی بوده و باعث جابجایی سیال محیطی می‌شود. نیروی جلوبرنده و محرك در پیشانی جریان گرادیان فشار حاصل از اختلاف چگالی میان پیشانی جریان و سیال محیطی است (فتحی مقدم و همکاران، ۲۰۰۸). در زمینه پیشروی جریان غلیظ تحقیقات بسیاری صورت گرفته است.

پارامتر بسیار مهم در بررسی پیشانی جریان میزان سرعت پیشرفت و پخش آن در سیال محیطی است. ترنر (۱۹۷۳) برای بدست آوردن سرعت پیشانی رابطه (۵) را پیشنهاد داد:

$$U_f = \sqrt{2} \sqrt{g'h} \quad (5)$$

که در آن، h ضخامت بدن جریان غلیظ و g' : همان شتاب نقل کاهش یافته تحت تاثیر تغییر غلظت و جرم مخصوص سیال است. جریان غلیظ در بدن معمولاً دائمی و تقریباً یکنواخت در نظر گرفته می‌شود و نیروی محرك بدن، نیروی نقل مؤثر بر سیال سنگین‌تر است. بدن جریان غلیظ به یک ترکیب جت-دیواره قابل تشبیه است و بر این اساس توزیع سرعت در بدن جریان غلیظ نیز در دو ناحیه جت و دیواره قابل بررسی است (شکل ۲).

مقدمه

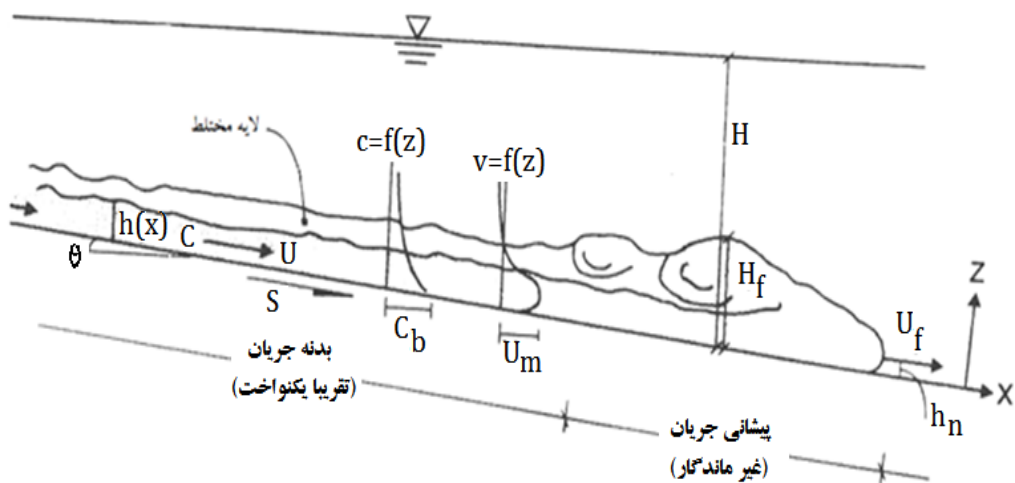
جریان‌های غلیظ در بسیاری از محیط‌های طبیعی و کاربردهای مهندسی هنگامی رخ می‌دهد که یک سیال با جرم مخصوص بالاتر در سیال سبک تری جریان یابد (ایونگ و همکاران، ۲۰۰۶). ورود جریان‌های غلیظ ناشی از پساب‌ها در اقیانوس‌ها و دریاچه‌ها، فعالیت‌های بیولوژیکی را تحت تأثیر قرار می‌دهند. جریان غلیظ یکی از مهمترین پدیده‌ها در ایجاد فرآیندهای رسوی در مخازن سدها است. از این‌رو شناخت پارامترهای مختلف در این نوع جریان‌ها امری ضروری است. جریان غلیظ یا جریان چگال عبارت است از جریانی که به دلیل نیروی نقل ناشی از اختلاف چگالی بین دو سیال به وجود می‌آید. با توجه به اینکه جریان غلیظ نوعی جریان نقلی است، شباهت‌هایی با جریان در مجاري روباز دارد، با این تفاوت که در جریان غلیظ سیال پیرامون تأثیر کاهنده قابل ملاحظه‌ای روی نیروی نقل دارد، به طوری که عدد فرود در جریان غلیظ به صورت رابطه (۱) بیان می‌شود و به آن عدد فرود دنسیومتریک می‌گویند:

$$Fr_D = \frac{U}{\sqrt{g'h \cos \theta}} \quad (1)$$

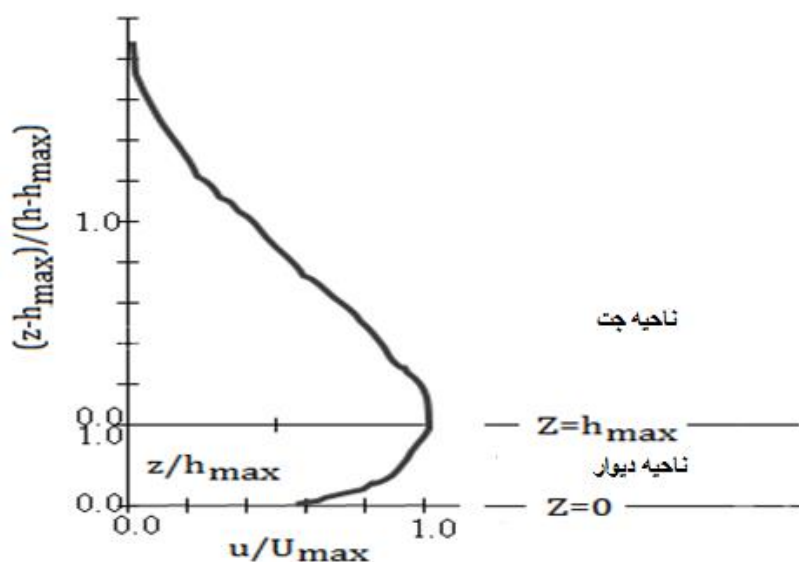
$$g' = g \left(\frac{\rho_t - \rho_a}{\rho_a} \right) \quad (2)$$

که در آن، g و g' به ترتیب شتاب نقل و شتاب نقل کاهش یافته است و ρ_t و ρ_a به ترتیب جرم مخصوص سیال غلیظ و جرم مخصوص سیال محیطی است. فرمول متداول در برگیرنده نیروی نقل و اینرسی به صورت رابطه زیر است که تحت عنوان عدد ریچاردسون بیان می‌شود:

$$Ri = \frac{1}{Fr_D^2} = \frac{g'h \cos \theta}{U^2} \quad (3)$$



شکل ۱ - شماتیکی کلی از پیشانی و بدن جریان غلیظ (گراف و آلتیناکار، ۱۹۹۸)



شکل ۲ - پروفیل بی بعد توزیع سرعت در جریان غلیظ (گراف و آلتیناکار، ۱۹۹۸)

کاظمی آرپناهی و همکاران: بررسی آزمایشگاهی و عددی دینامیک جریان‌های...

نمودنده:

$$\frac{h_2}{h_1} = \frac{1}{2} \left(\sqrt{1 + 7/12 \exp \left[-0.5 \left(\frac{K_s}{h_1} \right)^{0.85} \right] F_{DI}^2} - 1 \right) \quad (9)$$

که در آن h_2/h_1 : نسبت اعماق مزدوج، K_s/h_1 : زبری نسبی در مقطع بالا‌دست پرش و F_{DI} : عدد فرود دنسیومتریک مقطع بالا‌دست پرش جریان غلیظ می‌باشد. خصوصیات هیدرولیکی جریان غلیظ تحت تاثیر زبری و شیب بستر قرار دارد و هریک از این پارامترها تاثیر عکسی نسبت به یکدیگر روی سرعت پیشروی دارند. آلتیناکار و همکاران (۱۹۹۰) با استفاده از آزمایش‌های مختلف رابطه (۱۰) را برای تعیین سرعت پیشروی ارائه نمودند:

$$U_f = 0.63 \sqrt{g' H_f} \quad (10)$$

طبق نظر بریتر و لیندن^۲ (۱۹۸۰) مقدار سرعت جریان در طی مسیر ثابت بوده و مستقل از فاصله‌ای است که توسط جریان غلیظ پوشش می‌دهد. قمیشی (۱۹۹۵) در بررسی آزمایشگاهی با شیب کف ثابت و برابر ۰/۰۳۵ و استفاده از جریان غلیظ رسوبی و جریان غلیظ نمکی و نیز با استفاده از داده‌های سایر محققین، برای سرعت پیشانی جریان رابطه (۱۱) را به دست آورد:

$$U_f = 0.72 \sqrt{g' H_f} \quad (11)$$

که در آن H_f ضخامت جبهه جریان است. لا روکا و همکاران^۳ (۲۰۰۸) با استفاده از شبیه‌سازی عددی و آزمایشگاهی دینامیک یک جریان غلیظ سه بعدی را بر روی سطوح زیر مورد بررسی قرار دادند. آنها نشان دادند که مقدار کاهش سرعت پیشروی جریان در زبری‌های مختلف یک‌واحث نبوده و کمترین مقدار آن در زبری نسبی ۰/۰۰۵ < $\frac{H}{H}$ بوده و در $< 0.01 < \frac{E}{H}$ مقدار کاهش سرعت پیشروی ثابت است. یو و همکاران^۴ (۲۰۰۰) در یک بررسی آزمایشگاهی پروفیل‌های سرعت و غلظت در جریان‌های شبهمگن، رسوب گذار و بدون رسوب گذاری را مورد مطالعه قرار دادند. نتایج حاصل از تحقیق آنها نشان می‌دهد که نیروی ثقل مؤثر، نیروی حرک اصلی برای سرعت در یک جریان غلیظ لایه‌ای می‌باشد و توزیع سرعت بسیار واسطه به پروفیل‌های غلظت می‌باشد. براساس نظرات بوکی و همکاران^۵ (۲۰۰۱) در جریان‌های غلیظ رسوبی، لایه‌بندی در زیر تراز ماکریم سرعت عموماً پایدار است.

این دو ناحیه با ارتقای از جریان که سرعت در آن ماگزیم است h_{max} ، قابل جدا شدن می‌باشد. در ناحیه جت آشفتگی به دلیل تنش برشی حاصل از ورود سیال محیطی به بدن جریان بوجود می‌آید. تاثیر جریان جت و دیواره باعث شکل‌گیری توزیع سرعت و غلظت در بدن کanal می‌شود. توزیع سرعت در ناحیه جت با استفاده از یک توزیع گوسی به صورت زیر قابل برآش است (کاهه و همکاران، ۱۳۹۱):

$$\frac{u(z)}{U_{max}} = \exp \left[-\alpha \left(\frac{z - h_{max}}{h - h_{max}} \right)^\beta \right] \quad (6)$$

در ناحیه دیوار ($Z < h_{max}$), آشفتگی در دیوار به دلیل زبری بستر و ورود مواد رسوبی به بدن جریان، تشکیل می‌شود. توزیع سرعت در ناحیه دیوار با استفاده از یک معادله نمایی به صورت زیر قابل برآش است (کاهه و همکاران، ۱۳۹۱):

$$\frac{u(z)}{U_{max}} = \left(\frac{z}{h_{max}} \right)^n \quad (7)$$

در زمینه سرعت پیشروی و تغییرات سرعت در بدن جریان غلیظ تحقیقات بسیاری صورت گرفته است. به طور کلی سرعت پیشروی جریان غلیظ روی بسترهای زبر، به میزان قابل ملاحظه ای کمتر از بسترهای صاف می‌باشد، همچنین با افزایش زبری ضخامت بدن جریان غلیظ افزایش می‌یابد (کاهه و همکاران، ۱۳۹۱). حقی‌آبی (۱۳۸۳) رابطه بین سرعت جبهه جریان و شدت جریان مستغرق را برای شیب ثابت یک درصد به صورت زیر ارائه کرد:

$$U_f = 1.013 (g' q_0)^{0.324} \quad (8)$$

اسکوپروس و همکاران^۱ (۲۰۱۰) با یک سری آزمایش‌های جریان غلیظ نمکی و رسوبی بر روی بستر متحرک شکل‌گیری بستر را مورد مطالعه قرار داده و اثر زبری و شکل بستر ایجاد شده روی پروفیل‌های سرعت و مقدار افزایش غلظت از طریق بستر متحرک را مورد مطالعه قرار دادند. آنها نشان دادند که شکل‌گیری فرم بستر در رژیم‌های مختلف با یکدیگر متفاوت بوده و اثر متفاوتی نیز بر روی پروفیل سرعت در نزدیک بستر (بخش دیواره از پروفیل سرعت) و فاصله عمودی محل قرارگیری سرعت حداکثر دارد. برهمند و شمسایی (۲۰۱۰) با استفاده از تئوری پرش هیدرولیکی در مجاري رو باز و اصلاح آن برای جریان‌های غلیظ و با استفاده از یک سری آزمایش‌های جریان غلیظ رابطه (۹) را برای نسبت عمق مزدوج در پرش جریان‌های غلیظ روی سطوح زیر ارائه

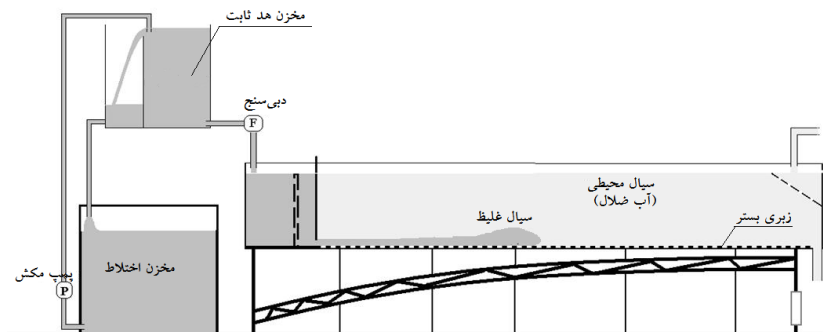
2- britter and Linden

3- La Rocca *et al.*

4- Yu *et al.*

5- Buckee *et al.*

1 - Sequeiros *et al.*



شکل ۳- طرح شماتیک مدل فیزیکی مورد استفاده

جدول ۱- خلاصه‌ای از مشخصات آزمایشات انجام شده در این تحقیق

| غذاظت (گرم بر لیتر) | دبي جریان غلظی (لیتر بر ثانیه) | شیب (درصد) |
|---------------------|--------------------------------|------------|
| ۲۰ و ۱۵، ۱۰ | ۱/۳، ۱، ۰ و ۰/۷ | ۲/۲، ۱، ۰ |

مختلف به صورت مفصل مورد بررسی قرار نگرفته است، لذا در تحقیق حاضر جریان غلظی نمکی با سه شیب، سه دبی و سه غذاظت متفاوت تحت مدل‌های آشفتگی مختلف بصورت فیزیکی و عددی مورد بررسی قرار گرفت.

مواد و روش‌ها

تجهیزات آزمایشگاهی: به منظور بررسی اثردبی، شیب و غذاظت روی سرعت پیشانی و توزیع سرعت در بدنه جریان غلظی از یک فلوم آزمایشگاهی (با عرض ۳۵ سانتیمتر و طولی معادل ۹ متر) با شیب قابل تغییر در آزمایشگاه مدل‌های هیدرولیکی دانشگاه شهید چمران اهواز استفاده شد. آزمایش‌ها به صورت جریان غلظی نمکی در سه دبی ورودی ۰/۷، ۱ و ۱/۳ لیتر بر ثانیه و در سه شیب ۰، ۱ و ۲/۲ درصد صورت پذیرفت. همچنین به منظور بررسی اثر تغییرات غذاظت جریان ورودی بر مشخصات جریان غلظی، از سه غذاظت ۱۵، ۱۰ و ۲۰ گرم بر لیتر استفاده شد. جدول (۱) خلاصه‌ای از آزمایش‌های انجام شده را نشان می‌دهد.

پیشروی جریان غلظی (که با استفاده از ماده رنگی پرمنگنات پتانسیم از سیال محیطی تمایز شده بود) در طول فلوم آزمایشگاهی به صورت لحظه‌ای تصویر برداری شد و در نهایت متوسط سرعت پیشروی جریان در میانه کanal تعیین گردید. پس از رسیدن رأس جریان به انتهای فلوم و شکل‌گیری بدنه یکنواخت جریان غلظی در بخش میانی از طول کanal، ضخامت بدنه و پروفیل‌های سرعت اندازه‌گیری شد. اندازه‌گیری صخامت بدنه با استفاده از اشلهای نصب شده روی فلوم آزمایشگاهی صورت گرفت (شکل ۴). در این تحقیق سرعت پیشانی با استفاده از خسته فیلم آزمایش انجام شده و پروفیل سرعت بدنه با استفاده از دستگاه سرعت‌سنج آتراسونیک (DOP 2000 مدل UDVP) انجام گیری شد. این سیستم توانایی ثبت مقادیر سرعت در جهت جریان به صورت پروفیل عمقی را دارد. می‌باشد.

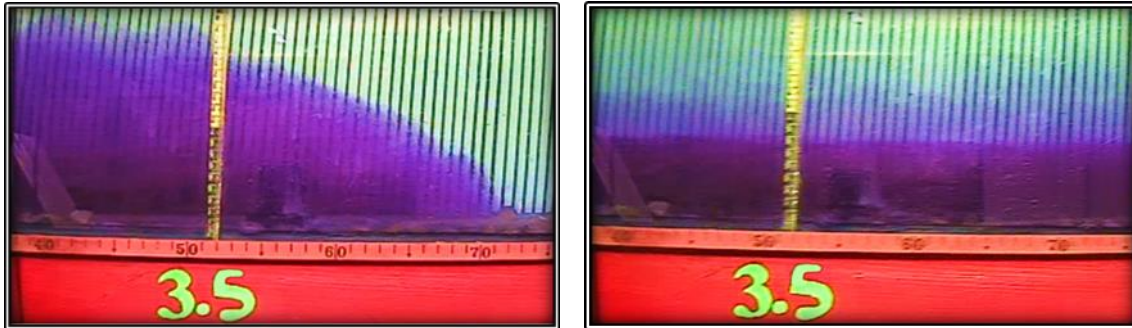
مک‌کافری و همکاران^۱ (۲۰۰۳) به بررسی تغییرات مکانی و زمانی جریان غلظی رسویی پرداختند. نتایج آنها نشان می‌دهد که ارتفاع حداکثر سرعت هم در بدنه و هم در پیشانی جریان تقریباً در یک سوم ارتفاع از کف قرار داشته و این ارتفاع با گذشت زمان تغییر نمی‌کند. کوکس و همکاران^۲ (۲۰۰۵) نشان دادند که ارتفاع حداکثر سرعت مستقل از غذاظت ورودی بوده و محل آن مشابه نتایج قبلی در یک سوم ارتفاع از کف اتفاق می‌افتد. باس و همکاران^۳ (۲۰۰۵) نشان دادند که توزیع ذرات معلق بسیار ناپایدار است و توسط نسبت سرعت سقوط ذره به مولفه‌های رو به بالا از سرعت تلاطم محلی کنترل می‌شود. کشتکار و همکاران^۴ (۱۳۸۹) در یک بررسی آزمایشگاهی در جریان غلظی رسویی نشان دادند که نسبت ضخامت واقعی جریان به ضخامت متوسط جریان برابر با ۱/۴ بوده و ارتفاع نظری غذاظت متوسط جریان در ارتفاعی معادل ۰/۳۵ تا ۰/۰ برابر ضخامت متوسط جریان اتفاق می‌افتد. حقی آبی^۵ (۱۳۸۳) آزمایش‌هایی بر روی جریان غلظی ناشی از مواد محلول (آب نمک) و بر روی شیب‌های متغیر انجام داد و رابطه‌ی زیرا برای شدت اختلاط را ارائه کرد:

$$E_w = \frac{0.0023}{Ri^{1.0743}} \quad (12)$$

کوتی و همکاران (۱۳۹۱) با بررسی جریان‌های غلظی به صورت آزمایشگاهی نشان دادند ارتفاع سرعت حداکثر و ضخامت بدنه جریان (h , h_{max}) با افزایش دبی و کشش سیال پیرامون افزایش و با افزایش غذاظت و شیب کاهش می‌یابد. همچنین سرعت حداکثر و سرعت متوسط (U , u_{max}) با افزایش هر یک از متغیرها افزایش می‌یابد.

طبق بررسی‌های انجام شده تا کنون رفتار دینامیکی جریان‌های غلظی نمکی بصورت عددی با استفاده از مدل‌های آشفتگی

1- McCaffrey *et al.*2- Choux *et al.*3 - Bass *et al.*



شکل ۴- نمونه از جریان غلیظ ایجاد شده در آزمایشگاه (پیشانی و بدن جریان غلیظ)

حرکت سیال در سه بعد شامل معادلات ناویراستوکس با پارهای بخش‌های اضافه‌تر به شرح زیر می‌باشند:

$$\frac{\partial u}{\partial t} + \frac{1}{V_F} \left[u A_x \frac{\partial u}{\partial x} + v A_y R \frac{\partial u}{\partial y} + w A_z \frac{\partial u}{\partial z} \right] - \xi \frac{A_y v^2}{x V_F} = -\frac{1}{\rho} \frac{\partial P}{\partial x} + G_x + f_x - \frac{RSOR}{\rho V_F} u \quad (15)$$

$$\frac{\partial v}{\partial t} + \frac{1}{V_F} \left[u A_x \frac{\partial v}{\partial x} + v A_y R \frac{\partial v}{\partial y} + w A_z \frac{\partial v}{\partial z} \right] - \xi \frac{A_y v u}{x V_F} = -\frac{1}{\rho} \left(R \frac{\partial P}{\partial y} \right) + G_y + f_y - \frac{RSOR}{\rho V_F} v \quad (16)$$

$$\frac{\partial w}{\partial t} + \frac{1}{V_F} \left[u A_x \frac{\partial w}{\partial x} + v A_y R \frac{\partial w}{\partial y} + w A_z \frac{\partial w}{\partial z} \right] = -\frac{1}{\rho} \frac{\partial P}{\partial z} + G_z + f_z - \frac{RSOR}{\rho V_F} w \quad (17)$$

که در آن V_F : شتابهای جرمی در جهات x,y,z G_x, G_y, G_z و f_x, f_y, f_z : شتاب‌های گرانتوی در جهات x,y,z می‌باشند.

نتایج و بحث

در این تحقیق تغییرات سرعت پیشروی جریان غلیظ در مقابل تغییرات شبیه کف کانال، دبی و غلظت جریان غلیظ مورد بررسی قرار گرفت مشاهد شد با افزایش شبیه کف کانال، غلظت و دبی جریان غلیظ، سرعت پیشروی جریان غلیظ افزایش می‌یابد. شکل (۵) تغییرات سرعت پیشروی جریان غلیظ در مقابل تغییرات غلظت جریان غلیظ را نشان می‌دهد. خطای متوسط مدل های آشتفتگی مختلف در مقایسه با داده های آزمایشگاهی در جدول (۲) ارائه شده است. لازم به ذکر است که کلیه آزمایشایش های جریان غلیظ انجام شده در محدوده اعداد رینولدز ۲۰۰۰ تا ۴۰۰۰ قرار دارند. در شکل (۶) سرعت بدون بعد مشاهداتی (حاصل از مدل فیزیکی) و سرعت بدون بعد محاسباتی (حاصل از مدل عددی) در مقابل هم ترسیم شد. با توجه به شکل های (۵) و (۶) و جدول (۲) مشاهده

مدل ریاضی: شبیه سازی جزئیات جریان با کاربرد نرم افزار Flow-3D انجام یافته است. Flow-3D یک نرم افزار متدالول با توانایی های وسیع برای شبیه سازی جریانهای سه بعدی است. مهمترین بخش این نرم افزار تعریف شبکه مش بندی و شرایط مرزی است. در این تحقیق از یک شبکه مش بندی مکعبی شکل با سلول هایی به ابعاد یک سانتی متر استفاده شد و شرایط مرزی با توجه به شرایط آزمایش ها و راهنمای نرم افزار، ورویدی، خروجی، قسمت فوقانی و سایر وجوده شبکه مش بندی تعریف شد. معادلات مورد استفاده مدل فلو تری دی برای این پژوهش شامل اصل بقای جرم و مومنت است.

الف: معادله عمومی بقاجرم.

$$V_F \frac{\partial \rho}{\partial t} + \frac{\partial}{\partial x} (\rho u A_x) + R \frac{\partial}{\partial y} (\rho v A_y) + \frac{\partial}{\partial z} (\rho w A_z) + \xi \frac{\rho u A_x}{x} = RDIF + RSOR \quad (13)$$

که در آن V_F : حجم سیال، ρ : جرم مخصوص سیال و بخش چشمی جرم می‌باشد. W ، V و U به ترتیب مؤلفه‌های سرعت در مختصات کارتزین (x,y,z) و یا مختصات استوانه‌ای (r,θ,z) می‌باشد. A_x, A_y, A_z به ترتیب مساحت‌های المان در جهت عمود بر مؤلفه‌های Z، Y و X می‌باشد. ضریب ξ و R مربوط به نوع سیستم مختصات بوده و در مختصات کارتزین $= 1$ و $= \xi$ می‌باشد. ترم اول (RDIF) در سمت راست معادله (13) ترم دیفیوژن تلاطم بوده و عبارتست از:

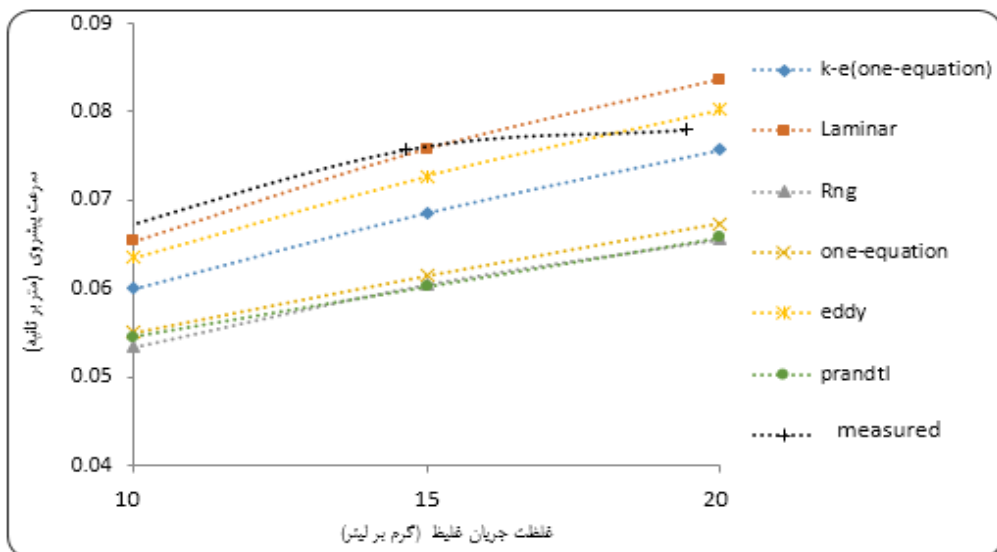
$$RDIF = \frac{\partial}{\partial x} \left(\nu_p A_x \frac{\partial \rho}{\partial x} \right) + R \frac{\partial}{\partial y} \left(\nu_p A_y R \frac{\partial \rho}{\partial y} \right) + \frac{\partial}{\partial z} \left(\nu_p A_z \frac{\partial \rho}{\partial z} \right) + \xi \frac{\rho \nu_p A_x}{x} \quad (14)$$

ضریب ν_p برابر است با $C_p \mu / \rho$ که μ : ضریب ویسکوزیته و C_p : عدد اشمتیت تلاطم می‌باشد. این نوع دیفیوژن جرم مربوط به فرآیندهای اختلاط تلاطم در سیالات با جرم مخصوص غیر یکنواخت می‌باشد. ب: معادله مقدار حرکت: معادلات

و مدل آشفتگی اددی مطابقت بهتری با داده‌های آزمایشگاهی دارد. شایان ذکر است مدل جریان آرام سرعت حداکثر را مقداری بیشتر از داده‌های آزمایشگاهی نشان می‌دهد. ولی مدل‌های آشفتگی Rng، One-equation، Prandtl و K-E نسبت به داده‌های مشاهداتی اختلاف زیادی دارند. جهت بررسی توزیع سرعت در بدنه جریان غلیظ، برای هر یک از نواحی جت و دیواره، توزیع بی بعد سرعت حاصل از مدل فیزیکی و مدل آشفتگی اددی و حالت جریان آرام با روابط (۶) و (۷) برآورد شد. شکل (۸) نمونه‌ای از پروفیل‌های سرعت بی بعد محاسبه شده در ناحیه جت و دیواره را نشان می‌دهد. لازم به توضیح است که در فرایند بی بعد سازی، ارتفاع پروفیل سرعت ناحیه جت نسبت به ارتفاع شامل سرعت ماگزینوم (h_m) و ارتفاع متوسط بدنه جریان غلیظ (h) بی بعد شد. و ارتفاع پروفیل سرعت در ناحیه دیواره با h_m بی بعد شد. بی بعد سازی سرعت در هر دو ناحیه نسبت به سرعت ماگزینوم (U_m) صورت پذیرفت.

می‌شود حالت لامینار و مدل آشفتگی اددی بیشترین همانگی را با داده‌های آزمایشگاهی دارند. با توجه به رینولز جریان که کمتر از ۴۰۰۰ است، انتظار می‌رود که حالت عددی جریان آرام دقت قابل قبولی داشته باشد. در شکل (۵) مشاهده می‌شود که حالت جریان آرام در غلظت ۲۰ گرم بر لیتر انحراف بیشتری نسبت به داده‌های آزمایشگاهی را نشان می‌دهد، دلیل آن را می‌توان ظهور آشفتگی با افزایش غلظت دانست.

یکی از مشخصه‌های مهم جریان غلیظ که تحت تاثیر دبی، شبیه و غلظت جریان غلیظ قرار دارد، توزیع سرعت در بدنه جریان غلیظ است. به منظور بررسی توزیع سرعت، متوسط مقادیر ثبت شده پروفیل‌های سرعت در طی زمان به عنوان توزیع سرعت در شرایط مختلف از شبیه، دبی جریان ورودی و اختلاف غلظت در نظر گرفته شد. شکل (۷) نمونه‌ای از پروفیل‌های سرعت حاصل از مدل فیزیکی و مدل‌های آشفتگی مختلف موجود در نرم افزار فلو تری دی را نشان می‌دهد. از مقایسه پروفیل‌های ترسیم شده، مشاهده شد که پروفیل‌های سرعت بدنه در حالت جریان لایه‌ای



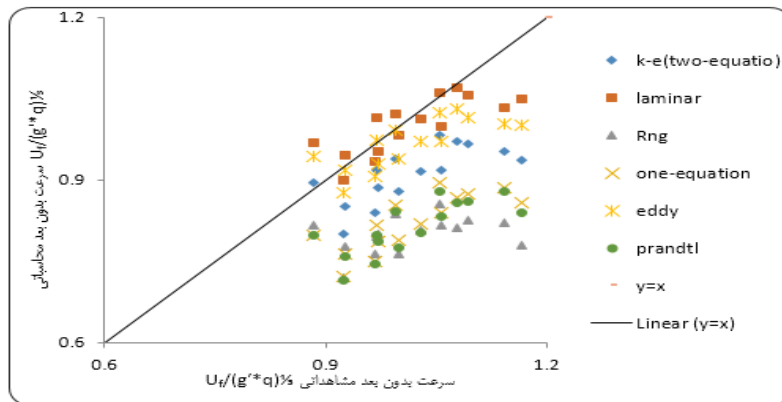
شکل ۵ - سرعت پیش روی جریان غلیظ در مقابل تغییرات غلظت جریان غلیظ برای مدل‌های مختلف

*داده‌های آزمایشگاهی/(داده‌های مدل عددی-داده‌های آزمایشگاهی) = (درصد) خطأ

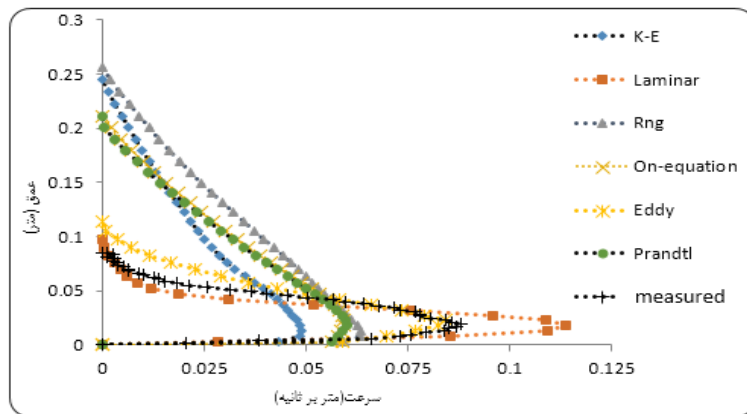
جدول ۲ - خطای متوسط مدل‌های آشفتگی مختلف در مقایسه با داده‌های آزمایشگاهی

| مدل | K-e | Laminar | Rng | One-equation | Eddy | Prandtl |
|------------|-----|---------|-------|--------------|------|---------|
| خطا (درصد) | ۶/۴ | ۲/۶۷ | ۱۵/۵۰ | ۱۷/۳۷ | ۸ | ۱۸/۵۰ |

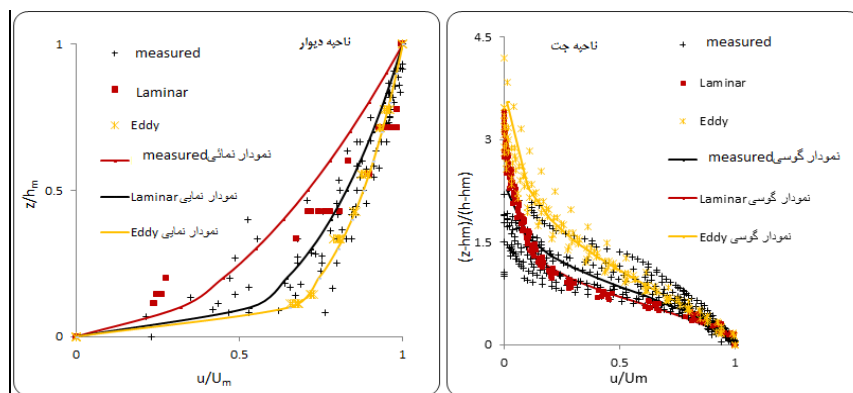
کاظمی آرپناهی و همکاران: بررسی آزمایشگاهی و عددی دینامیک جریان‌های...



شکل ۶- تغییرات سرعت بی بعد مشاهداتی و محاسباتی برای مدل‌های مختلف



شکل ۷- نمونه‌ای از پروفیل‌های سرعت (دبی ۱ (لیتر بر ثانیه)، غلظت جریان غلیظ ۱۰۱۵ (گرم بر لیتر) و شیب ۲/۲ درصد)



شکل ۸- پروفیل‌های سرعت بی بعد حاصل از مدل‌های فیزیکی و عددی در ناحیه چت و دیواره

در جداول (۳) و (۴) ارائه شده است. جدول (۵) خطای مدل عددی در محاسبه توزیع سرعت ناحیه چت و دیواره نسبت به مدل آزمایشگاهی را نشان می‌دهد.

در شکل (۹) نتایج به دست آمده برای شدت اختلاط در برابر عدد ریچاردسون برای داده‌های آزمایشگاهی و دو مدل جریان آرام و اددی (راحته ۶ و نمایی) (راحته ۷) به روش حداقل کدن توزیع نیمه گوسی (راحته ۶) و نمایی (راحته ۷) میانگین مربعات خطای بازآش داده شد. منحنی های گوسی و نمایی برآذش شده برای مدل‌های فیزیکی و عددی روی شکل (۸) با رنگ‌های متفاوت نشان داده شده است. نتایج حاصل از این بررسی می‌باشد.

به منظور بررسی دقیق‌تر اثر در نظر گرفتن نوع مدل آشفتگی جریان، بر روی روند تغییرات توزیع سرعت در ناحیه چت و دیواره، کلیه پروفیل‌های بی بعد شده برای مدل فیزیکی و دو حالت عددی (جریان آرام و اددی) در ناحیه چت و دیواره بترتیب با استفاده از توزیع نیمه گوسی (راحته ۶) و نمایی (راحته ۷) به روش حداقل کدن میانگین مربعات خطای بازآش داده شد. منحنی های گوسی و نمایی برآذش شده برای مدل‌های فیزیکی و عددی روی شکل (۸) با رنگ‌های متفاوت نشان داده شده است. نتایج حاصل از این بررسی

جدول ۳- ضرائب برآش شده از توزیع نیمه گوسی برای سرعت بی بعد در ناحیه جت جریان

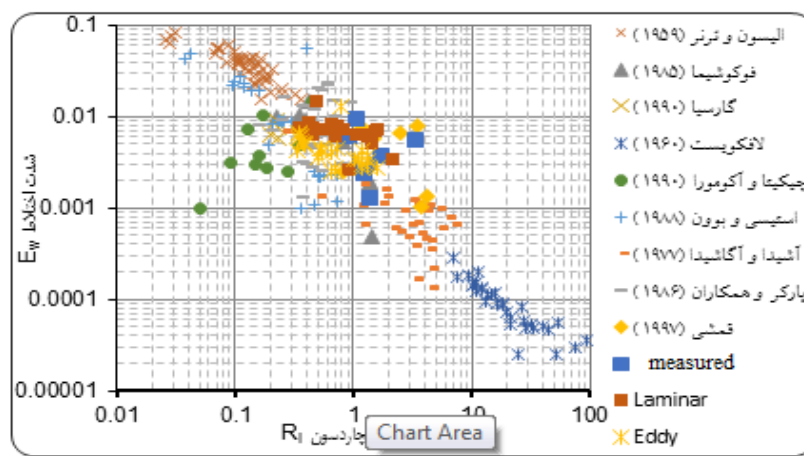
| نام پروفیل | ضرایب رگرسیون | معادلات گوسی | ضرایب | حالت لامینار | داده‌های آزمایشگاهی |
|------------|---------------|--------------|---------|--------------|---------------------|
| ضرایب | ضرایب رگرسیون | معادلات گوسی | ضرایب | حالت لامینار | داده‌های آزمایشگاهی |
| α | 0.986 | $1/583$ | $1/79$ | $1/312$ | 0.962 |
| β | 0.986 | 0.618 | 0.985 | 0.924 | 0.93 |

جدول ۴- ضرائب برآش شده توزیع توانی برای سرعت بی بعد در ناحیه دیواره جریان

| نام پروفیل | ضریب تعیین | توان معادله توزیع سرعت | داده‌های آزمایشگاهی | حالت لامینار | مدل آشفتگی ادی |
|------------|------------|------------------------|---------------------|--------------|----------------|
| ضریب تعیین | 0.99 | 0.95 | 0.92 | 0.497 | 0.273 |

جدول ۵- خطای حالت لامینار و مدل آشفتگی ادی در برآورد پروفیل سرعت ناحیه‌های جت و دیواره

| خطای ناحیه دیواره (درصد) | خطای ناحیه جت (درصد) | مدل | دادی | حالت لامینار | جریان آرام (لامینار) |
|--------------------------|----------------------|-------|------|--------------|----------------------|
| خطای ناحیه دیواره (درصد) | خطای ناحیه جت (درصد) | مدل | دادی | حالت لامینار | جریان آرام (لامینار) |
| ۶/۷ | ۲۶/۱۶ | ۱۵/۲۷ | ۱۳/۸ | | |

**شکل ۹- مقادیر شدت اختلاط در برابر عدد ریچاردسون و مقایسه آن با نتایج محققین دیگر**

پروفیل‌های سرعت ناحیه جت حاصل از مدل عددی از تابع گوسی تبعیت کرده و در این ناحیه حالت جریان آرام ۱۵/۲۷ درصد خطا دارد. و مدل آشفتگی ادی ۲۶/۱۶ درصد خطا دارد. براساس تحلیل انجام شده روی کلیه پروفیل‌های سرعت بدست آمده حاصل از آزمایشگاه، به طور کلی می‌توان توزیع سرعت در ناحیه دیواره را به صورت رابطه نمایی زیر برآش داد:

$$\frac{u(z)}{U_{\max}} = \left(\frac{z}{h_{\max}} \right)^n$$

پروفیل‌های سرعت ناحیه جت حاصل از مدل عددی از تابع نمایی تبعیت کرده و در این ناحیه حالت جریان آرام ۱۳/۸ درصد و مدل آشفتگی ادی ۶/۷ درصد خطا دارد.

نتیجه گیری

با افزایش شبکه کف کanal، غلظت و دبی ورودی جریان غلیظ سرعت پیشروی (پیشانی جریان غلیظ) افزایش می‌یابد. حالت جریان آرام (لامینار) و مدل آشفتگی ادی سرعت پیشروی جریان غلیظ را با دقت بالایی نسبت به سایر مدل‌های آشفتگی محاسبه می‌کنند. در ضمن حالت جریان آرام دقت بهتری دارد. براساس تحلیل انجام شده روی کلیه پروفیل‌های سرعت بدست آمده حاصل از آزمایشگاه، به طور کلی می‌توان توزیع سرعت در ناحیه جت را به صورت رابطه گوسی زیر برآش داد:

$$\frac{u(z)}{U_{\max}} = \exp \left[-\alpha \left(\frac{z-h_{\max}}{h-h_{\max}} \right)^{\beta} \right]$$

کاظمی آرپناهی و همکاران: بررسی آزمایشگاهی و عددی دینامیک جریان‌های...

منابع

- ۱- حقی آبی، ا. ۱۳۸۳. بررسی اثر شیب کف بر پروفیل سرعت جریان غلیظ رساله دکتری رشته سازه های آبی ، دانشکده مهندسی علوم آب، دانشگاه شهریار، چمران اهواز.
- ۲- کاهه، م. قمشی، م. و س، ح، موسوی چهرمی، ۱۳۹۱. بررسی آزمایشگاهی سرعت پیشروی جریان غلیظ بر روی سطوح زبر. علوم و مهندسی آبیاری، ۱۱۰-۱۰۱(۱): ۳۵
- ۳- کشتکار، ش. ایوب زاده، س. ع. و ب، فیروزآبادی، ۱۳۸۹ . بررسی پروفیل سرعت و غلظت جریان گل آسود با استفاده از مدل فیزیکی. پژوهش‌های آبخیزداری، ۸۷(۲): ۴۳-۳۶
- ۴- کوتی، ف. کاشفی پور، س. م. و م. قمشی، ۱۳۹۱. تجزیه و تحلیل پروفیل های سرعت در جریان غلیظ. مجله‌ی علوم و فنون کشاورزی و منابع طبیعی، علوم آب و خاک، ۵۹: ۲۹-۱۵.
- 5- Altinakar, M.S., Graf, W.H. and , E.J, Hopfinger. 1990. Weakly depositing turbidity current on a small slope. *Journal of Hydraulic Research*. 28(1): 55-80.
- 6- Baas, J.H. McCaffrey, W.D. Haughton P.D.W. and C, Choux. 2005. Coupling between suspended sediment distribution and turbulence structure in a laboratory turbidity current. *Journal of Geophysics Research*, 110: 20-32.
- 7- Barahmand, N. and A, Shamsai. 2010. Experimental and theoretical study of density jumps on smooth and rough beds". *Lakes and Reservoirs: Research and Management*, 15(4): 285-307.
- 8- Bitter, R.E. and P, Linden. 1980.The motion of the front of a gravity current traveling down an incline. *Journal of Fluid Mechanics*, 99(3): 531- 543.
- 9- Buckee, C. Kneller, B. and J, Peakall. 2001. Turbulence structure in steady solute-driven gravity currents Blackwell Oxford pp, 173-188.
- 10-Choux, C.M.A. Baas, J.H. McCaffrey, W.D. and P.D.W, Haughton. 2005. Comparison of spatio-temporal evolution of experimental particulate gravity flows at two different initial concentrations based on velocity grain size and density data. *Sedimentary Geology*, 179: 49-69.
- 11-FathiMoghadam, M. TorabiPoudeh, H. Ghomshi, M. and M, Shafaei. 2008. The density current head velocity in expansion reaches. *Lakes & Reservoirs: Research & Management*, 13(1): 63-68.
- 12-Ghomeshi, M. 1995. Reservoir sedimentationmodeling. Ph.D. Thesis. University of Wollongong. Australia.
13. Graf, W.H. and M, S, Altinakar. 1998. Fluvial Hydraulics, Flow and Transport Processes in Channels of Simple Geometry. John Wiley and Sons, Ltd, England.
- 14- Ieong, K, K. Mok, K,M. and H, Yeh. 2006. Fluctuation of the front propagation speed of developed gravity current. *Journal of Hydrodynamics*, 18(3): 351-355.
- 15- LaRocca, M. Adduce, C. Sciortino, G. And A, B, Pinzon. 2008. Experimental and numerical simulation of three-dimensional gravity currents on smooth and rough bottom. *Physics of Fluids*, 20, 106603.
- 16- McCaffrey, W, D. Choux, C, M. Baas, J, H. And P, D, W, Haughton. 2003. Spatio-temporal evolution of velocity structure concentration and grainsize stratification within experimental particulate gravity currents. *Marine and Petroleum Geology*. 20: 851-860.
- 17- Sequeiros, O, E. Spinewine, B. Beaubouef, R, T. Sun, T. Garcia, H. M., and G, Parker. 2010. Characteristics of Velocity and Excess Density Profiles of Saline Underflows and Turbidity Currents Flowing over a Mobile Bed". *Journal of Hydraulic Engineering*, 136(7): 167-180.
- 18- Turner, J, S. 1973. Buoyancy Effects in Fluids. Cambridge University Press London, U.K, pp. 178-181.
- 19- Yu, W, S. Lee, H, Y. And M, S, Hsu. 2000. Experiments on deposition behavior of fine in a reservoir. *Journal of Hydraulic Engineering*, 126(12): 912-920.